

# مقایسه ویژگی‌های آلتراسیونی کمربند آتشفشاری-نفوذی طرود-چاه شیرین در شمال و جنوب روستای طرود با استفاده از تصاویر ماهواره‌ای و آنالیزهای شیمیایی

مسعود اخیانی<sup>۱</sup>، مهدی خرقانی<sup>۲</sup>، فرهنگ سرشکی<sup>۳</sup>، مرتضی رحیمی<sup>(۴)\*</sup>

۱. استادیار، گروه مهندسی معدن، دانشگاه آزاد اسلامی واحد شاهروд
۲. دانشجوی دکتری، گروه معدن مکانیک سنگ، دانشگاه آزاد اسلامی واحد علوم و تحقیقات تهران
۳. استادیار، گروه معدن، دانشکده مهندسی معدن، نفت و ژئوفیزیک، دانشگاه شاهرود، شاهرود، ایران
۴. کارشناسی ارشد، زمین‌شناسی زیست‌محیطی، رئیس هیئت مدیره گروه معدنی شریف

تاریخ دریافت: ۹۸/۰۱/۱۷

تاریخ پذیرش: ۹۸/۰۳/۰۸

## چکیده

رخدادهای گسترده آتشفشاری نفوذی مربوط به اؤسن در  $۱۳^{\circ}$  کیلومتری جنوب شهرود و در شمال و جنوب روستای طرود مشاهده می‌شد. کمربند آتشفشاری طرود-چاه شیرین با مختصات  $۵۴^{\circ} ۲۰' ۰۰''$  تا  $۵۵^{\circ} ۰۰' ۰۰''$  طول شرقی و  $۳۵^{\circ} ۴۰' ۰۰''$  تا  $۳۵^{\circ} ۴۰' ۰۰''$  عرض شمالی که بخشی از کمربند فلزی چاه شیرین-سبزوار-تایباد می‌باشد، به دلیل وجود رخدادهای متعدد معدنی و بهویشه رگه‌های فلات پایه با منشا ای ترمال و همچنین دگرسانی‌های گسترده ناشی از نفوذ توده‌های آذرین اسیدی تاحد واسط و محلول‌های هیدروترمال ناشی از عملکرد آن، در سنگ‌های آتشفشاری منطقه، دارای اهمیت بالای مطالعاتی می‌باشد. به کارگیری روش‌های ترکیب رنگی کاذب و الگوریتم‌های منطقی مختلف نسبت باندی بر روی داده‌های سنجنده ASTER جهت شناسایی و بازرسازی آلتراسیون‌های آرژیلیک پیشرفت، آرژیلیک متوسط، فیلیک و پروپلیتیک در سطح منطقه و تایید داده‌های مطالعه شده توسط آنالیزهای XRD اساس این مطالعه می‌باشد. با توجه به بازدیدهای میدانی و نتایج آنالیز XRD نمونه‌های دگرسانی به دست آمده از زون‌های مختلف منطقه و تطبیق آن با نتایج اعمال این الگوریتم منطقی مشخص شد که ضمن ناجیز بودن زون‌های آلتراسیونی واحدهای آتشفشاری جنوب طرود نسبت به توده آتشفشاری شمال این روستا، تعییر مقادیر آستانه نسبت‌های باندی در این الگوریتم می‌تواند نتایج مطلوب‌تری در این منطقه برای تفکیک دگرسانی آرژیلیک و فیلیک داشته باشد. سپس با توجه به حضور کانی‌های شاخص دگرسانی آرژیلیک پیشرفت در منطقه شمال طرود مانند آلونیت و پیروفیلیت مقادیر آستانه بهینه برای تفکیک این زون از زون آرژیلیک با استفاده از الگوریتم منطقی نسبت باندی آرژیلیک تعیین و نتایج الگوریتم با توجه به مشاهدات صحرابی مطلوب ارزیابی شد و همچنین مشخص گردید که با استفاده از خصوصیات طیفی کانی‌های شاخص زون پروپلیتیک مانند کلریت و اپیدوت، از نسبت باندی  $۹+۷/۸$  استر با مقدار آستانه  $۲/۳$  برای نقشه‌برداری زون پروپلیتیک که هم در واحدهای شمالی و هم جنوبی روستای طرود مشاهده می‌شود، مناسب می‌باشد.

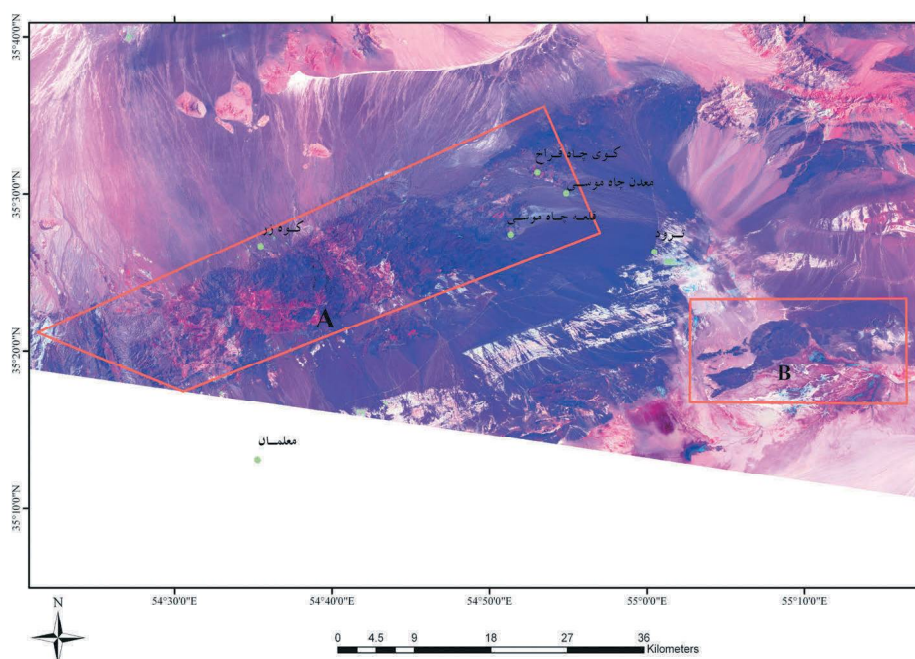
**واژه‌های کلیدی:** کمربند آتشفشاری-نفوذی طرود-چاه شیرین، ترکیب‌های رنگی، الگوریتم‌های منطقی نسبت‌های باندی، دگرسانی.

## مقدمه

آندرزیتی به شکل دایک و سیل سبب دگرسانی گستردگی و شدید گرمایی همراه با کانی‌زایی‌های نوع رگه‌ای در برخی از بخش‌های این کمربند شده است (مهرابی و قاسمی، ۱۳۸۹؛ لیاقت و همکاران، ۱۳۸۷).

وجود رخدادهای معدنی و معادن فعال و متروک متعدد از جمله کانسارهای گندی (Au-Pb-Zn)، ابوالحسنی (Pb-Zn)، چشم‌های حافظ (Pb-Zn)، چاه موسی (Cu) و دارستان (Au-Cu) و موارد متعدد دیگر از جمله مناطقی هستند که از نظر زمین‌شناسی اقتصادی مورد توجه بوده و تاکنون مطالعات متعدد زمین‌شناسی در آن صورت گرفته است (رشیدنژاد عمران، ۱۳۷۱؛ عابدیان و دری، ۱۳۷۵؛ برنا و عشق‌آبادی، ۱۳۷۶؛ تاج‌الدین، ۱۳۷۷؛ شمعانیان اصفهانی، ۱۳۸۲؛ فرد، ۱۳۸۰). در این پژوهش عملکرد دو الگوریتم منطقی نسبت باندی تصاویر ماهواره‌ای ASTER توسعه یافته توسط Mars and Rowan 2006 برای تفکیک مناطق دگرسانی آریلیکی و فیلیکی واحدهای آتشفشانی-نفوذی شمال و جنوب روستای طرود (شکل ۱) مورد بررسی قرار گرفته و صحت نتایج با استفاده از آنالیز XRD نمونه‌های میدانی مورداً رزیابی قرار گرفته است.

امروزه استفاده از داده‌های سنجش از دور برای شناسایی مناطق دگرسانی و نقشه‌برداری از این مناطق با روش‌های مختلف پردازشی مورد توجه زیادی قرار گرفته است (Tangestani et al., 2002؛ Rown et al., 2006؛ Tangestani, 2008؛ Rong et al., 2008؛ Tangestani et al., 2008؛ رنجبر و شهریاری، ۱۳۸۵). در آبوهای خشک و بیابانی و پوشش گیاهی پراکنده و ضعیف، استفاده از تصاویر ماهواره‌ای برای شناسایی کانی‌های دگرسانی و تفکیک انواع زون‌های دگرسانی مرتبط با توده‌های نفوذی و محلول‌های هیدروترمال ناشی از آن، کانه‌زایی‌های احتمالی مرتبط با آن سیار مناسب‌تر می‌باشد. مجموعه آتشفشانی-نفوذی طرود چاه شیرین که بخشی از کمربند فلزی چاه شیرین-سبزوار-تایبادمی باشد (آقانباتی، ۱۳۸۳)، دارای گستردگی بسیار زیاد است که بخش غربی آن در این مطالعه مورد بررسی قرار گرفته است. این منطقه با وسعت تقریباً حدود ۳۰۰ کیلومتر مربع بین طول‌های شرقی ۳۵° و ۴۰° و عرض‌های شمالی ۳۵° و ۴۰° و جغرافی ۳۵° را در بر می‌گیرد و بخشی از کویر بزرگ ایران به شمار می‌آید. نفوذ توده‌های شبه آتشفشانی نیمه عمیق با ترکیب اسیدی تا حد واسطه به داخل ردیف‌های آتشفشانی میدانی مورداً رزیابی قرار گرفته است.



شکل ۱. موقعیت مناطق مورد بررسی (بر روی تصویر ماهواره‌ای لندست) در شمال و جنوب روستای طرود، جنوب شاهرود- استان سمنان

و در نهایت فرآورده‌های آتشفشارانی حالت بازیکتر به خود گرفته است و به گدازه‌ها، برش‌ها و توفهای آندزیتی تبدیل شده است. فعالیت‌های ماقمایی در دوران اول و دوم در ضمن حوادث تکتونیکی به تدریج آغاز شده و اوج فعالیت آتشفشارانی در زمان ائوسن میانی تا احتمالاً بالای روی داده است که اسکلت اصلی ارتفاعات حدفاصل طرود- چاه‌شیرین را تشکیل می‌دهد (آقانباتی، ۱۳۸۳). احتمالاً این فعالیت‌ها تا پایان ائوسن ادامه یافته است.

سنگ‌های آتشفشارانی ائوسن این ناحیه توسط توده‌های نفوذی متعددی قطع شده است که بر اساس شواهد چینه‌شناسی دارای سن ائوسن بالای- الیگوسن می‌باشند که نشان از تاثیر فاز زمین ساختی پیرینه در این منطقه دارد (رشید نژاد عمران، ۱۳۷۱).

این توده‌های کوچک از سنگ‌های نفوذی با ویژگی‌های توده‌های کم‌عمق و ترکیبی گرانودیبوریتی به سن اولیگومیوسن این مجموعه آتشفشارانی را قطع و به عنوان یکی از عناصر مهم در فرآیند کانی سازی بشمار می‌آید (سهیلی و همکاران، ۱۳۷۹؛ رشید نژاد عمران، ۱۳۷۱).

الگوی ساختاری منطقه مورد مطالعه نیز توسط دو گسل امتدادلغز انجیلو در شمال و طرود در جنوب با روند کلی شمال شرقی- جنوب غربی کنترل می‌شود (مهرابی و قاسمی سیانی، ۱۳۸۹)

نقشه زمین‌شناسی منطقه مورد مطالعه در شکل ۲ نشان داده شده است.

## تحلیل داده‌های سنجش از دور

### ASTER سنجنده

سنجنده استر در سال ۱۹۹۹ با همکاری آمریکا و ژاپن به فضا پرتاب شده است و از ویژگی‌های بارز آن قدرت تفکیک طیفی بالای آن نسبت به سایر سنجنده‌های مانند ETM می‌باشد. این سنجنده دارای ۱۴ باند مختلف می‌باشد که با توجه به طول موج در سه دسته VNIR، SWIR و TIR با قدرت تفکیک مکانی به ترتیب ۳۰، ۱۵ و ۹۰ متر تقسیم‌بندی می‌شوند (علوی پناه، ۱۳۸۵). در این مطالعه از یک تصویر ASTER به شماره

## مواد و روش‌ها

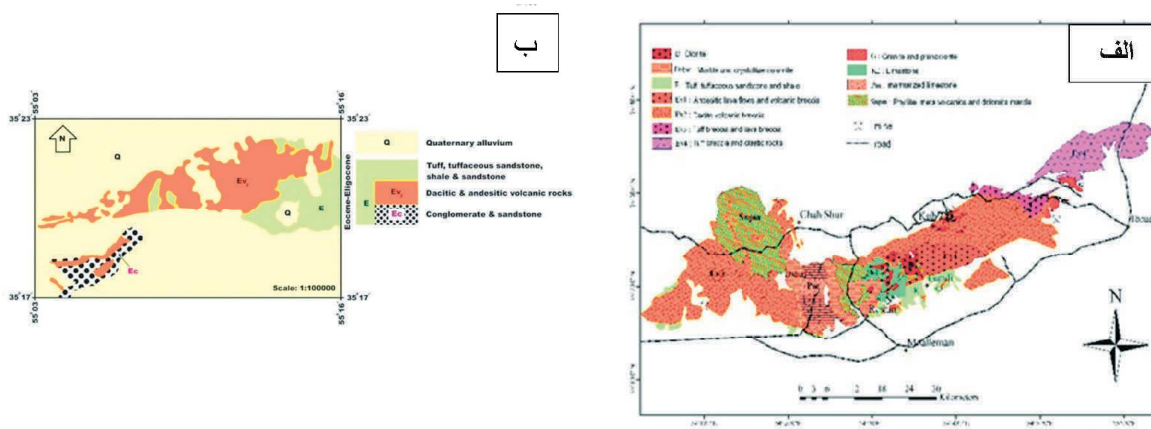
جهت تعیین زون‌های آلتراسیونی، تعیین کانی‌ها و نقشه پراکنش دگرسانی‌ها از تصاویر ماهواره‌ای استرا همراه با مشاهدات صحرابی و آنالیزهای XRD استفاده شد. روش‌های پردازش تصویری مانند ترکیبات رنگی کاذب، نسبت‌های باندی (بهویژه استفاده از باندهای مرئی و مادون قرمز نزدیک سنجنده استر برای شناسایی و بازسازی کانی‌های شاخص دگرسانی و مناطق دگرسان در سطح منطقه) و نقشه‌بردار زاویه طیفی<sup>۱</sup> برای بازسازی دگرسانی‌های منطقه به کار گرفته شد. علاوه بر روش پراش اشعه ایکس<sup>۲</sup> از مطالعه مقاطع نازک نیز به عنوان ابزارهای کنترلی استفاده شد. در نهایت جهت برآورد صحت و تحلیل خطای پردازش از ماتریس آشفتگی (خطا) و ضریب کاپا استفاده شد. ضریب کاپا یا کاپای کوهن (Cohen, 1960) معیاری چند متغیره است که میزان سازگاری بین دو متغیر را نشان می‌دهد. این ضریب نشان می‌دهد که واحدهای دگرسانی رده‌بندی شده مورد نظر را چه اندازه با داده‌های میدانی دگرسانی سازگاری دارند. مقدار ضرب کاپا به طور معمول کمتر یا مساوی ۱ است. عدد یک نشان دهنده بیشترین سازگاری و مقادیر کمتر، نشان دهنده سازگاری کمتر است.

## زمین‌شناسی عمومی منطقه

مجموعه آتشفشارانی- نفوذی طرود- چاه‌شیرین بخشی از کمربند فلز زایی چاه‌شیرین- سبزوار- تایباد، واقع در بخش شمالی زون ایران مرکزی می‌باشد (آقانباتی ۱۳۸۳).

مجموعه دگرگونی پالئوزوئیک- مزو佐ئیک در مناطق رشم و شمال شرق طرود، قدیمی‌ترین واحد زمین ساختی می‌باشد که پایه و اساس ساختار منطقه را فراهم آورده است. پس از آن رخمنون‌های سنتگی ائوسن ردیف نسبتاً ضخیمی از سنگ‌های آتشفشارانی- آذرآواری با ترکیب غالب آندزیتی و پیروکسین آندزیت تا ریوداسیت همراه با آذرآواری‌های مربوطه به سن ائوسن، این پهنه را می‌پوشاند. غالب محصولات آتشفشارانی از آندزیت و بازالت تشکیل شده که در طول فعالیت‌های آتشفشارانی فعل در منطقه به مرور زمان به ترکیب اسیدی و تراکیتی گرایش پیدا کرده است

1. ASTER  
2. SAM  
3. XRD



شکل ۲. نقشه زمین‌شناسی محدوده مورد مطالعه، (الف) زون شمال طرود، (ب) زون جنوب طرود

دگرسانی در مجموعه آتشفشانی نفوذی طرود-چاه شیرین در منطقه مورد مطالعه استفاده شد (شکل ۳). در ترکیب باندی ۴۶۸، نواحی با دگرسانی پروپلیتیک به رنگ سبز و نواحی با دگرسانی آرژیلیک و فیلیک به رنگ سفید تا صورتی دیده می‌شوند (شکل ۴-الف، ب). این مسئله به علت بازتابندگی بالای کانی‌های آلونیت، کائولینیت و مسکویت در باند ۶ نسبت به باندهای ۶ و ۸ است (عباسزاده و هزارخانی، ۱۳۸۹). در این شکل در برخی از مناطق پیکسل‌هایی با رنگ صورتی پررنگ مشاهده می‌شوند که مربوط به مناطق دارای دگرسانی آرژیلیک پیشرفت‌هه (آلونیت) در زون شمالی (الف) و واحدهای رسی کویری بدون آلتراسیون در زون جنوبی (ب) می‌باشد. در ترکیب باندی ۴۶۱ نیز نواحی با دگرسانی پروپلیتیک به رنگ سبز و نواحی با دگرسانی آرژیلیک و فیلیک به رنگ صورتی مایل به زرد دیده می‌شوند (شکل ۴-پ). در شکل ۴ رنگ صورتی کمرنگ به واسطه جذب بنیان Al-OH در باند ۶ و رنگ زرد ناشی از جذب اکسیدهای آهن است (Di Tommaso and Rubinstein, 2006).

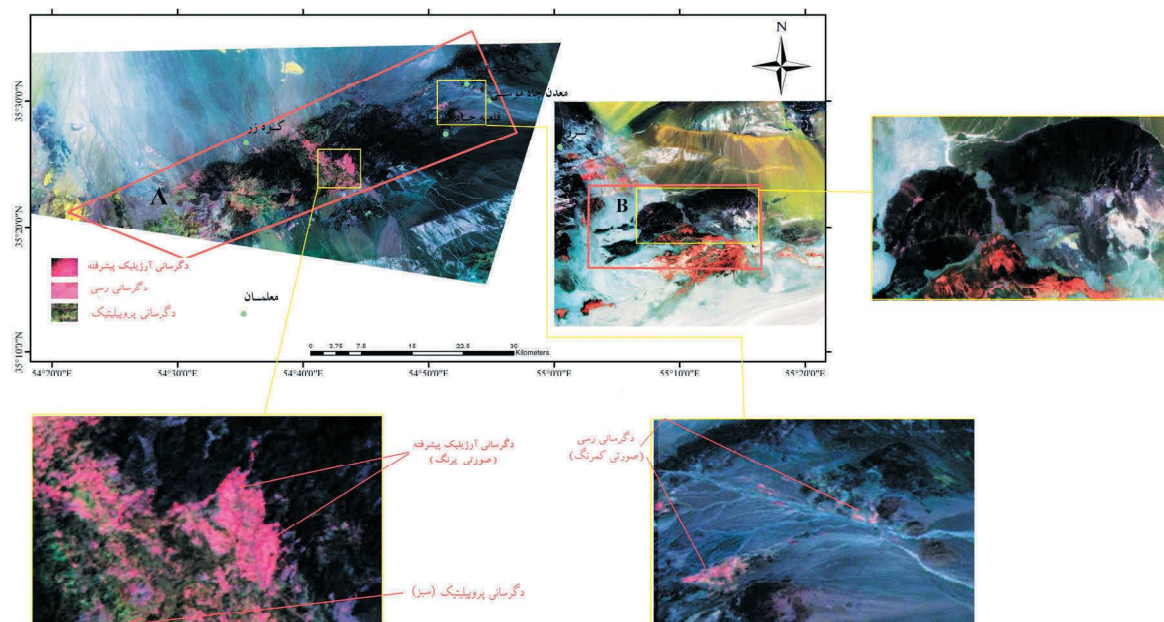
### روش نسبت باندی

یکی از روش‌های رایج در پردازش تصاویر ماهواره‌ای که کاربرد وسیعی در زمین‌شناسی دارد، روش نسبت‌های باندی می‌باشد (Rowan et al., 1977). این روش شامل تقسیم کردن دو باند برهمدیگر است. باندی که میزان بازتابش از هدف موردنظر در آن بیشتر باشد در صورت کسر و باندی که میزان جذب برای همان هدف در آن بالاتر باشد در

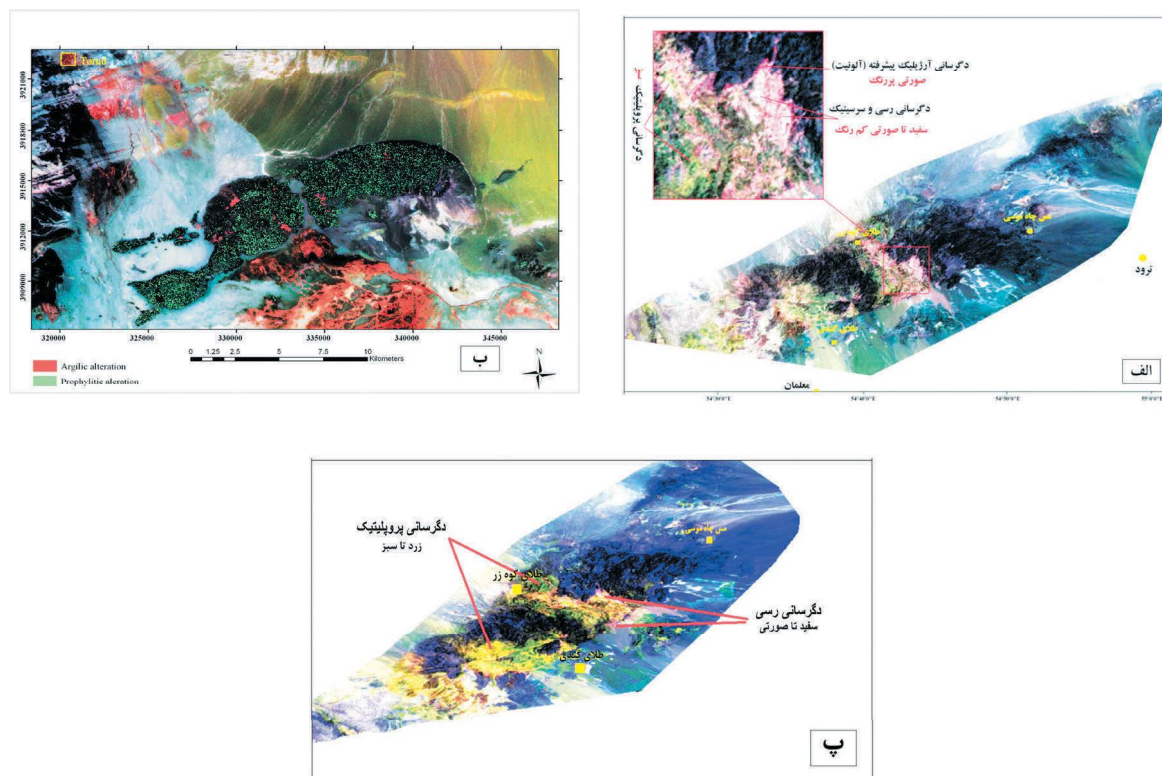
AST\_L1B\_003\_05102002110146 در تاریخ ۲۰۰۲/۴/۲۸ برداشت شده، جهت شناسایی و تفکیک کانی‌های دگرسانی هیدرولترمالی مورد استفاده قرار گرفته است. این تصاویر از نظر پردازش در تراز ۱B قرار دارند که معادل داده‌های رادیانس در سنجنده به شمار می‌آیند. بهمنظور تبدیل به داده‌های انعکاسی و از بین بردن تأثیرات توپوگرافی و جوی، از روش تصحیح اتمسفری IAR Reflectance استفاده شد. جهت پردازش و آنالیز داده‌های ماهواره‌ای از نرم‌افزار Envi ver. 4.7 استفاده شده است.

### روش‌های پردازش تصویر ترکیب رنگی کاذب (FCC)

سنجنده استره، ابزار مناسبی جهت تشخیص گروههای کانیایی حاضر در دگرسانی می‌باشد (Rawan et al., 2003). در این میان باندهای ۱ و ۳ استر عمده‌تا به پاسخ‌های طیفی کانی‌های حاوی اکسیدهای آهن، باند ۵ و ۶ به پاسخ‌های طیفی کانی‌های رسی که در این محدوده به واسطه حضور بنیان Al-OH دارای جذب می‌باشند، باند ۷ به ارتعاشات طیفی بنیان Fe-OH که عمده‌تا در ژاروسیت و مسکوویت‌های آهن دار وجود دارد و باند ۸ نیز به جذب طیفی کانی‌های کلریت، اپیدوت و کرینات‌ها که در ساختار کانیایی خود دارای بنیان  $Mg-OH$  و  $CO_3$  هستند حساسیت دارند. برای این اساس چندین ترکیب رنگی مختلفی از باندهای استر برای تفکیک بصری دگرسانی در گزارش‌های محققان مختلف دیده می‌شود که در این مطالعه از دو ترکیب رنگی کاذب ۴۶۸ (عباسزاده و هزارخانی، ۱۳۸۹) و ۴۶۱ (Di

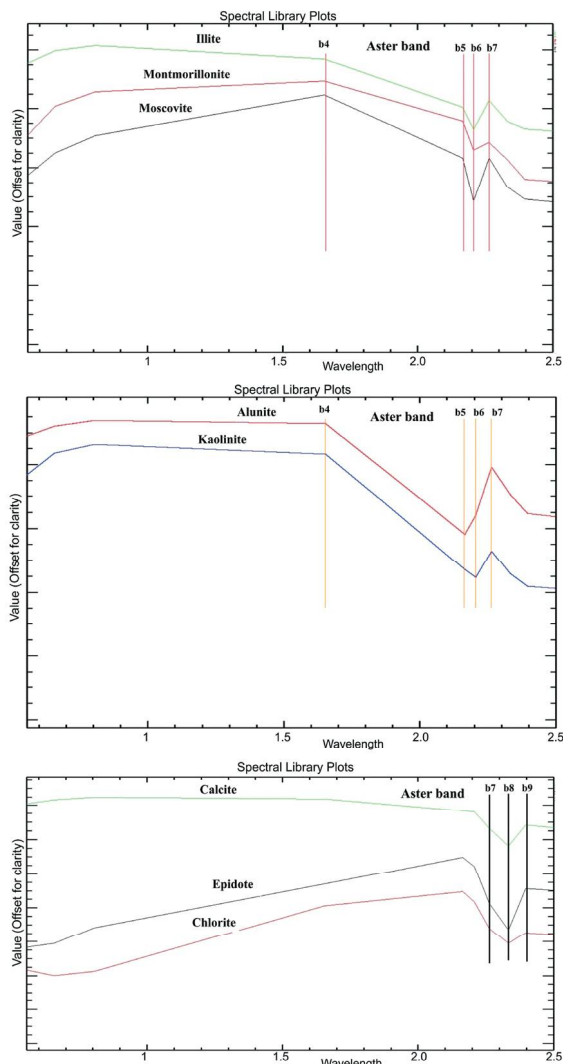


شکل ۳. ترکیب باندی ۴۶۸ تصویر ماهواره‌ای لندست برای تقسیک زون‌های آلتراسیونی مختلف (دگسانی پروپیلیتیک به رنگ سبز، دگسانی آرژیلیک و فیلیک به رنگ سفید تا صورتی و دگسانی آرژیلیک پیشرفت به رنگ صورتی پررنگ). لازم به ذکر است که پس از مشاهدهات صحرابی مشخص گردید رنگ صورتی مشاهده شده در تصویر ب مرتبه به رسمهای کویری بوده و آلتراسیون نمی‌باشد (A) معادل زون الف و B زون ب است)



شکل ۴. الف و ب) ترکیب رنگی ۴۶۸:RGB برای مشاهده مناطق دارای دگسانی آرژیلیک و فیلیک (سفید تا صورتی) و پروپیلیتیک (سبز) به ترتیب برای زون شمال و جنوب طرود پ) نمای سه بعدی منطقه با ترکیب رنگی ۴۶۱:RGB برای مشاهده مناطق دارای دگسانی آرژیلیک و فیلیک (زرد تا صورتی) و پروپیلیتیک (سبز) زون شمال طرود

به منظور بارزسازی مناطق دگرسانی پروپیلیتیک، با توجه به شکل ۵ از نسبت باندی  $9+7/8$  استفاده شد. در این نسبت پیکسل‌هایی از تصویر که دارای مقادیر انعکاسی بیش از  $2/3$  هستند به عنوان دگرسانی پروپیلیتیک طبقه‌بندی شدند. این مقدار آستانه تفکیک از روی مطالعات منحنی طیفی  $3$  کانی راچ این دگرسان یعنی کلریت، اپیدوت و کلیسیت به دست آمد. مقایسه نتایج این نسبت باندی با مشاهدات صحرائی انتباط خوبی با هم نشان می‌دهند. در شکل ۷ نقشه کلی آلتراسیون‌های کل محدوده مطالعاتی که با استفاده از تصاویر ASTER و الگوریتم‌های نسبت باندی در این مطالعه تهیه شده نشان داده شده است.



شکل ۵. طیف بازتاب کانی‌های آلونیت، کائولینیت، سرسیت، ایلیت، مونت‌موریلونیت، کلریت، اپیدوت و کلسیت که نسبت به سنجنده مونه برداری شده‌اند ASTER

مخرج کسر قرار می‌گیرد. با به کارگیری این روش می‌توان اثر توپوگرافی و سایه‌ها در تصویر را به حداقل رساند و اختلاف بین درجات روشنایی تصویر را بارزسازی کرد (Rouskov et al., 2005). برای مشخص کردن مناطق دگرسانی با توجه به ویژگی‌های طیفی کانی‌های شاخص در هر نوع دگرسانی، می‌توان نسبت‌های باندی را تعریف کرد. براساس Mars and Rowan, 2006 برای تفکیک دگرسانی فیلیک و آرژیلیک با توجه به منحنی‌های طیفی مسکوویت و کائولینیت (شکل ۵) به ترتیب باید از سه نسبت  $4/6$ ،  $5/6$  و  $7/6$  و  $5/6$  و  $7/6$  برای پوشش محدوده جذب مسکوویت در  $2/2$  میکرومتر و کائولینیت در  $2/165$  استفاده کرد. دو الگوریتم منطقی نسبت باندی زیر (معادلات ۱ و ۲) را به ترتیب برای تفکیک زون فیلیک و آرژیلیک توسعه دادند (Mars and Rowan, 2006) که در این مطالعه از آنها برای نقشه‌برداری این دو زون در منطقه استفاده شد.

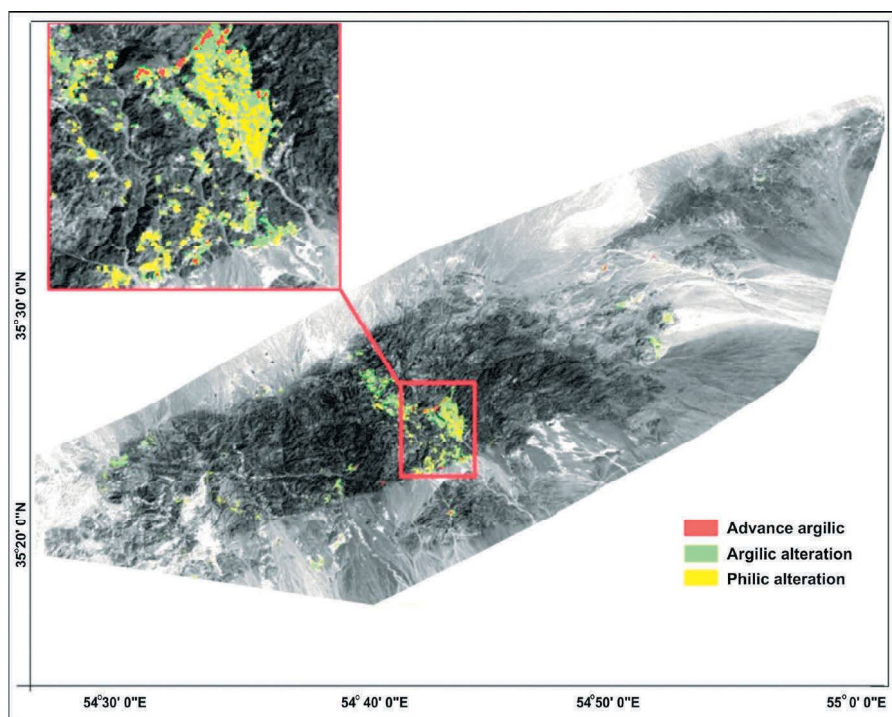
(۱) الگوریتم زون فیلیک ( $\text{float}(b4)/b6 > 25/1$  and  $((\text{float}(b5)/b6) > 05/1)$  and  $((\text{float}(b7)/b6) \geq 03/1$

(۲) الگوریتم زون آرژیلیک ( $\text{float}(b4)/b5 > 1.25$  and  $((\text{float}(b5)/b6) < 1.05$  and  $((\text{float}(b7)/b6) \geq 1.03$

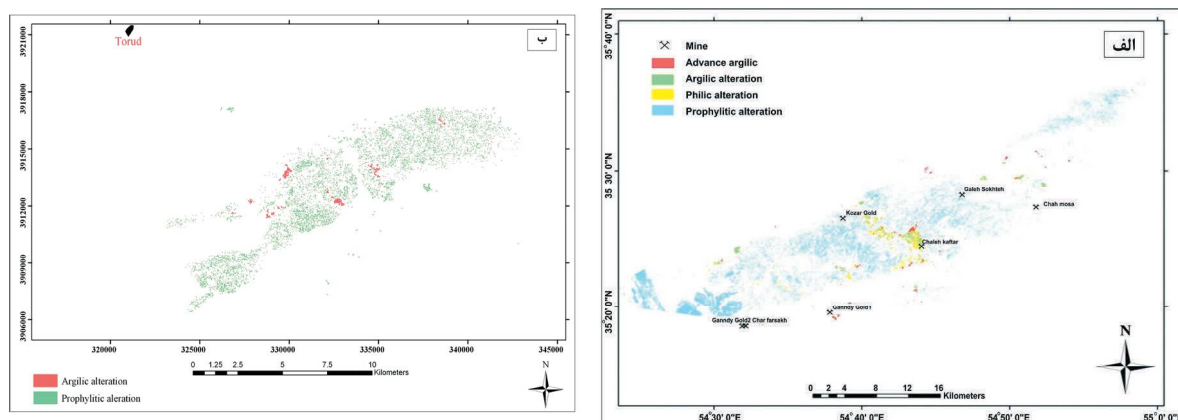
از آنجایی که در منطقه مطالعاتی دگرسانی آرژیلیک پیشرفت (آلونیتی شدن) نیز در برخی از مناطق دگرسانی مشاهده می‌شود طیف ASTER کانی‌های آلونیت و پیروفیلیت (کانی‌های شاخص دگرسانی آرژیلیک پیشرفت) به همراه کانی کائولینیت مورد بررسی قرار گرفت (شکل ۵) و سعی شد الگوریتمی مشابه معادله ۲ برای تفکیک کانی آلونیت از کائولینیت برای منطقه توسعه یافتد. با توجه به نقاط نمونه‌برداری و نتایج آنالیز XRD نمونه‌ها، دگرسانی در منطقه مقادیر انعکاسی پیکسل‌های مشخص آلونیت و کائولینیت در تصاویر ASTER منطقه با هم قیاس شد و بر این اساس الگوریتم نسبت باندی  $3$  برای تفکیک این دو کانی در منطقه توسعه یافت که نتایج اعمال این الگوریتم جدید در شکل ۶ به همراه مناطق دارای دگرسانی آرژیلیکی پیشرفت، آرژیلیکی و فیلیک نشان داده شده است.

(۳) الگوریتم زون آرژیلیک پیشرفت (آلونیتی شدن)

$((\text{float}(b4)/b5) > 1.1)$  and  $((\text{float}(b5)/b6) < 1.02)$  and  $((\text{float}(b7)/b6) \geq 1.03)$



شکل ۶. تصویر زون های دگرسانی آرژیلیکی پیشرفته، آرژیلیک و فیلیک که با استفاده از الگوریتم های منطقی نسبت باندی به دست آمده است که برای درک بهتر بر روی زمینه ای از باند 1 ASTER قرار داده شده است. توجه: به دلیل نبود آلتراسیون های آرژیلیکی پیشرفته و فیلیک در زون ب نقشه این زون ارائه نشده است)



شکل ۷. نقشه کلی آلتراسیون های منطقه مورد مطالعه که با استفاده از تصاویر ASTER و الگوریتم های نسبت باندی در این مطالعه تهیه شده است، (الف) زون شمال طرود، (ب) زون جنوب طرود

(Fard et al., 2006). در این واحدها دگرسانی گرمابی در نزدیکی رگه ها شدید بوده و پهنه ای هاله های دگرسانی از چند سانتی متر تا چند متر در اطراف رگه ها متغیر است و شامل دگرسانی های پروپیلیتیکی، سرسیتی، آرژیلیتی و سیلیسی و آلونیتی شدن است. دگرسانی های موجود در منطقه عمدتاً دارای زون بندی مشخص هستند به طوری که در فاصله دورتر از رگه ها تا ۳۰ متر در اطراف گسل ها انواع دگرسانی قابل

## مشاهدات صحرا ای و دگرسانی ها در منطقه

برخلاف دگرسانی اندک و محدود واحده ای آذرین جنوب طرود که برای اولین بار مورد بررسی قرار گرفته بود، دگرسانی در سنگ های آتشفشاری و آذرآواری شمال طرود، یکی از بارزترین پدیده های زمین شناسی می باشد که در گستره تاثیر توده های نفوذی نیمه عمیق مشاهده می شود (لیاقت و همکاران ۱۳۸۷؛ مهرابی و قاسمی، ۱۳۸۹؛ خاکزاد، ۱۳۷۶؛

داشته و اغلب سنگ‌های رخنمون یافته حدواسط و مافیک متتحمل دگرسانی پروپیلیتیک شده‌اند. این زون عمدتاً شامل مجموعه کانی‌های کلریت، اپیدوت، کلسیت و پلازیوکلاز می‌باشد. دگرسانی پروپیلیتی در بخش بیرونی تری نسبت به رگه‌های معدنی تشکیل شده است با این وجود، مرز این زون دگرسانی در بعضی بخش‌ها تدریجی و نامشخص است و در مقایسه با دیگر دگرسانی‌ها در منطقه از گسترش بیشتری برخوردار است. این نوع دگرسانی به همراه سریسیتی شدن، تنها دگرسانی‌های مشاهده شده در واحدهای آذرین جنوب طرود (زون ب) محسوب می‌شوند.

در (شکل ۸) انواع دگرسانی کائولینیتی (آرژیلیک متوسط) و آلونیتی (آرژیلیکی پیشرفت) که با رنگ‌های سفید-قهوه‌ای آجری و پروپیلیتیک به رنگ سبز و سیلیسی نشان داده شده است.

(شکل ۹) نیز تصاویر میکروسکوپی مقاطع تهیه شده از زون ب جهت تعیین آلتراسیون‌های مختلف را نشان می‌دهد.

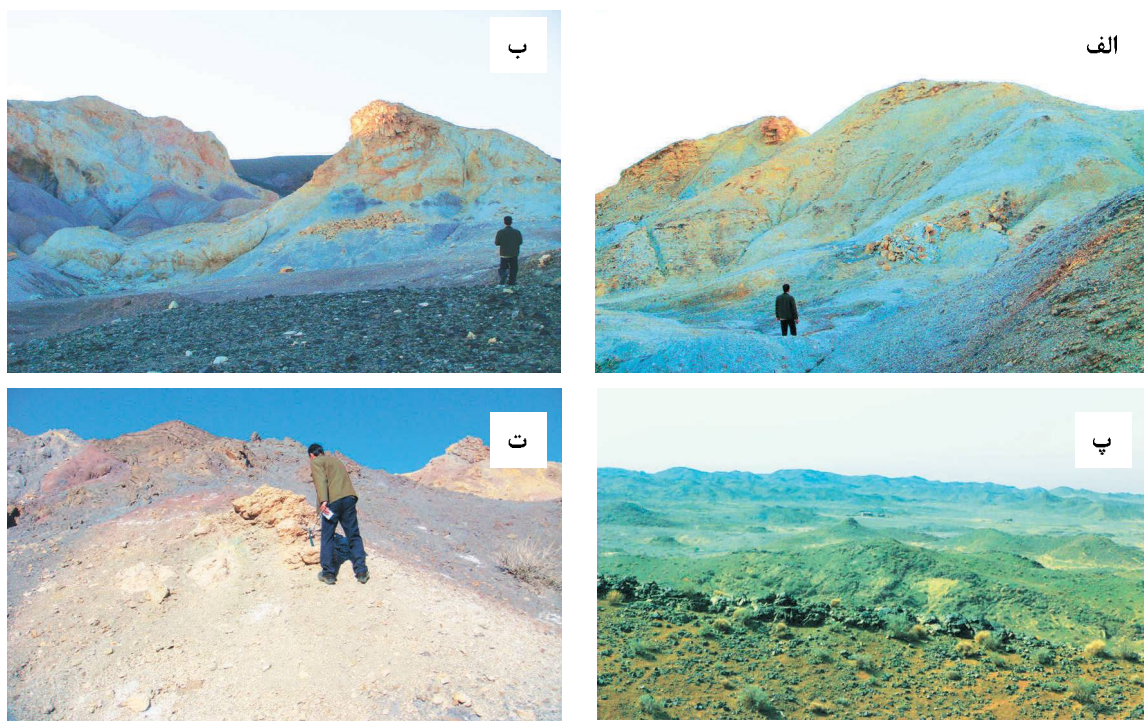
براساس مشاهدات صحرائی و نتایج تجزیه نمونه‌های میدانی با روش پراش اشعه ایکس (XRD) (جدول ۱) دگرسانی آرژیلی متوسط (کانی‌های کائولینیت، ایلیت، مونتموریونیت و کوارتز) گستره محدودی را در بخش‌های مرکزی توده شمالی و در مجاورت طلای گندی را شامل می‌شود. دگرسانی آرژیلی پیشرفت (کانی‌های آلونیت، پیروفیلیت، کائولینیت و کوارتز) نیز در مرکز کمان با گسترش خیلی محدودتر در مجاورت دگرسانی آرژیلی متوسط مشاهده می‌شود (شکل ۷).

دگرسانی فیلیک (کانی سرسیت، کائولینیت، ایلیت و کوارتز)، در مقایسه با دگرسانی آرژیلی از گسترش بیشتری در سطح منطقه برخوردار می‌باشد. این دگرسانی در بخش‌های شرقی، مرکزی و غربی کمان مخصوصاً در مناطقی که کانی‌زابی‌های فلزی رخ داده است مانند معدن چاه موسی، چشم‌های حافظ، چاه مسی و برخی معدن دیگر در اطراف ماده معدنی با وسعت متفاوت گسترش دارد (شکل ۶).

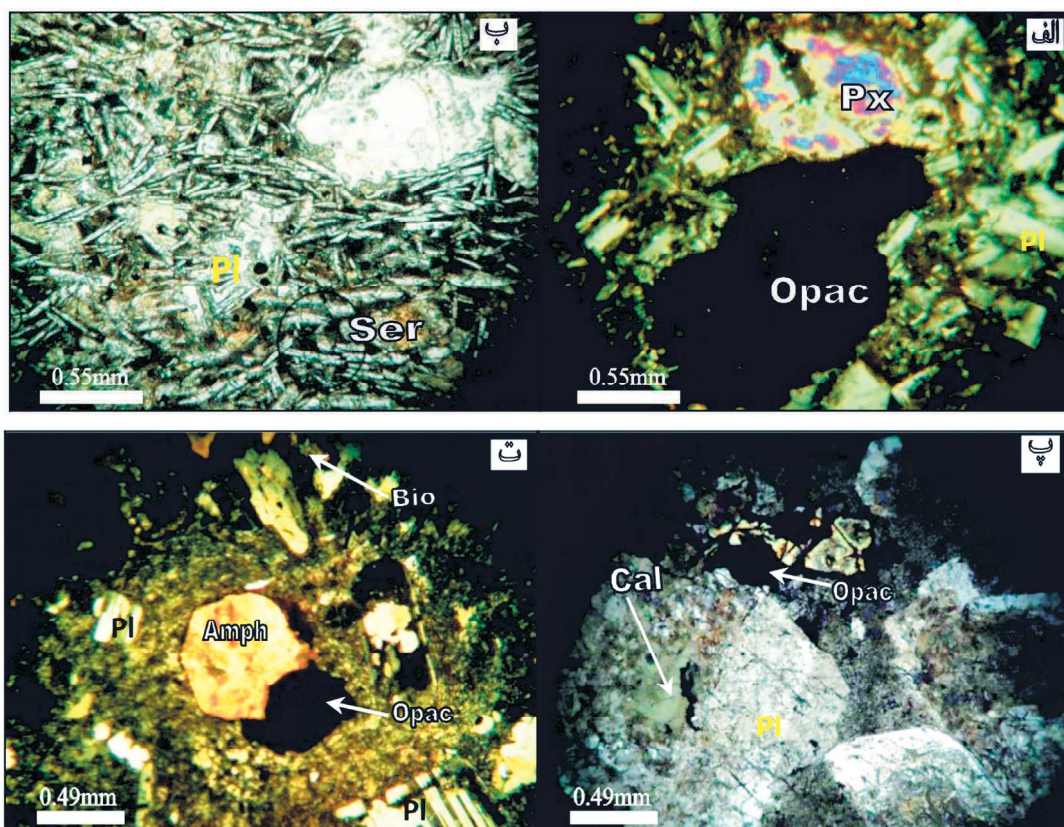
دگرسانی پروپیلیتی در منطقه مطالعاتی گسترش ناحیه‌ای

جدول ۱. نتایج آنالیزهای XRD از مناطق مورد بررسی و زون آلتراسیونی مربوط به هر نمونه (نمونه‌های T1 تا T10 مربوط به زون مطالعاتی شمال طرود-زون الف- و نمونه‌های T30 تا T35 مربوط به زون مطالعاتی جنوب طرود-زون ب- می‌باشد).

نمونه	x	y	کانی‌شناسی	زون دگرسانی
T1	۳۰۷۲۴۰	۳۹۲۹۲۷۰	quartz + sericite+ hematite+ calcite + kaolinite	سرسیتی شدن (فیلیک)
T2	۳۰۶۲۵۵	۳۹۲۹۲۳۰	quartz +chlorite + epidote + calcite	پروپیلیتیک
T3	۳۱۰۳۹۰	۳۹۳۳۸۸۰	quartz + calcite+ chlorite+ epidote+ sericite	پروپیلیتیک
T4	۳۰۵۷۶۳	۳۹۲۶۴۳۰	quartz + sericite + kaolinite+ chlorite	سرسیتی شدن (فیلیک)
T5	۳۱۰۲۸۷	۳۹۳۲۱۳۰	quartz + sericite + illite + hematite + chlorite	سرسیتی شدن (فیلیک)
T6	۲۹۵۰۵۵	۳۹۱۸۹۸۰	quartz + alunite + hematite + kaolinite + calcite	آرژیلیک پیشرفت
T7	۲۹۱۴۹۱	۳۹۱۷۸۱۰	quartz + alunite +pyrophyllite + illite + goethite + rutile	آرژیلیک پیشرفت
T8	۲۹۶۹۳۸	۳۹۱۹۲۸۰	quartz + chlorite + epidote + calcite + albite + orthoclase	پروپیلیتیک
T9	۲۹۴۱۱۳	۳۹۱۸۴۱۰	quartz +montmorillonite + illite + calcite	آرژیلیک متوسط
T10	۲۹۴۰۷۹	۳۹۲۰۴۶۰	quartz + goethite	سیلیسی شدن
T30	۳۲۹۶۱۳	۳۹۱۲۹۷۴	quartz + sericite + illite + calcite	سرسیتی شدن
T31	۳۲۲۶۴۰	۳۹۱۲۲۶۷	quartz + sericite + calcite	سرسیتی شدن
T32	۳۴۰۲۱۷	۳۹۱۴۳۲۱	quartz +montmorillonite + illite + calcite	آرژیلیک متوسط
T33	۳۴۰۱۴۱	۳۹۱۵۳۹۲	quartz +chlorite + epidote + calcite + albite	پروپیلیتیک
T34	۳۲۲۵۹۸	۳۹۱۴۰۲۸	quartz +Chlorite + Epidote + Calcite + Albite	پروپیلیتیک



شکل ۸. الف، ب) رخمنونی از زون آلونیت-کائولینیت (آرژیلیک پیشرفت) و بخش‌های کائولینیتی شده به رنگ سفید، پ و ت) به ترتیب رخمنونی‌هایی از بخش‌های کلریتی-اپیدوتی (آلتراسیون پروپیلیتیک) و رگه‌های سیلیسی به همراه مناطق کائولینیتی شده در منطقه رخمنونی



شکل ۹. الف) دگرسانی بلورهای ریز پلازیوکلاز (Pl) به سریسیت (Ser) به همراه مقداری شیشه در زمینه (PPL)، ب) بلور پیروکسن (Px) در حال دگرسانی به اکسیدهای آهن (XPL)، پ) بیوتیت (Bio) (XPL)، پ) همراه هورنبلند در حال دگرسانی به کانی اوپک (Opq) در یک زمینه رسی-شیشه‌ای (XPL)، ت) دگرسانی پلازیوکلازها به کلسیت و کانی فرمونیزین به کانی اوپک (XPL)

## نتیجه‌گیری

- باغو، تهران، دانشگاه تربیت معلم، پایان نامه کارشناسی ارشد، ۲۵۶.
- رنجبر، ح. و شهریاری، م.، ۱۳۸۵. مقایسه داده‌های سنجنده ETM + و سنجنده ASTER جهت نقشه‌برداری مناطق دگرسان شده در بخش مرکزی کمربند دهچ ساردوییه استان کرمان، مجله بلورشناسی و کانی‌شناسی ایران، پاییز و زمستان (۲) ۳۶۷-۳۶۲.
  - سهیلی، م.، کوثری، س. و عابدیان، ن.، ۱۳۷۹. پژوهه اکتشاف مقدماتی معادن شهرستان دامغان، سازمان صنایع و معادن استان سمنان، ۲۰.
  - شمعانیان اصفهانی، غ. ح.، ۱۳۸۲. مطالعه دگرسانی و کانی‌سازی گرمابی فلزات پایه و گرانیها در منطقه معلمان، پایان نامه دکتری زمین‌شناسی اقتصادی، دانشگاه شهید بهشتی تهران، ۳۵۶.
  - عابدیان، ن. و دری، م.، ۱۳۷۵. بررسی معادن مس استان سمنان، سازمان صنایع و معادن استان سمنان.
  - عباس زاده، م.، هزارخانی، ا.، ۱۳۸۹. نقشه‌برداری دگرسانی‌های گرمابی با استفاده از تصاویر Aster در منطقه رابر، کرمان، فصلنامه علمی-پژوهشی علوم زمین، سازمان زمین‌شناسی و اکتشاف معدنی کشور.
  - علوی پناه، ک.، ۱۳۸۵. کاربرد سنجش از دور در علوم زمین (علوم خاک)، انتشارات دانشگاه تهران، ۵۰۰.
  - لیاقت، س.، شیخی، و.، نجاران، م.، ۱۳۸۷. مطالعه پترولوزی، ژئوشیمیابی و ژنز فیروزه باغو-دامغان، مجله علوم دانشگاه تهران، ۳۴، ۲، ۱۳۳-۱۴۲.
  - فرد، م.، ۱۳۸۰. کانی‌شناسی، ژئوشیمی و ژنز کانسار طلا، سرب، روی گندی، پایان نامه کارشناسی ارشد زمین‌شناسی اقتصادی، دانشگاه تربیت مدرس تهران.
  - مهرابی، م. و قاسمی سیانی، م.، ۱۳۸۹. کانی‌شناسی و زمین‌شناسی اقتصادی کانسار پلی‌متال چشم‌های حافظ، استان سمنان، ایران، مجله زمین‌شناسی اقتصادی، ۱، ۲، ۱-۲۰.
  - Cohen, J., 1960. A coefficient of agreement for nominal scales. Educational and Psychological Measurement, 20, 37-46.
  - Di Tommaso, I. M. and Rubinstein, N., 2006. Hydrothermal alteration mapping using ASTER data in the Infiernillo porphyry deposit, Argentina, Journal of Ore Geology Reviews, 29,

ارزیابی و پردازش داده‌های ASTER، انطباق خوبی را با داده‌های زمینی در ناحیه طرود-چاه شیرین نشان می‌دهد. از سه الگوریتم منطقی نسبت باندی، برای شناسایی کانی‌های دگرسان منطقه استفاده شده است. در زون آرژیلیک این ناحیه کانی‌های ایلیت و مقداری کائولینیت، در زون فیلیک کانی سرسیت و در زون پروپلیتیک کانی‌های اپیدوت و مقداری کلریت و کلسیت تشخیص داده شده است. مقایسه نتایج حاصل از پردازش تصاویر ASTER با مشاهدات صحرابی و نتایج حاصل از آنالیز پراش پرتو اشعه ایکس (XRD) روی نمونه‌های برداشت شده از بخش‌های دگرسان، انطباق خوبی را با یکدیگر نشان می‌هند.

## سپاسگزاری

مقاله حاضر برگرفته از نتایج طرح‌های پژوهشی "بررسی آنومالی‌ها، کانه زایی و تعیین عیار (پتانسیل‌های معدنی و اقتصادی) آتشفشاری‌های اؤسن در نکسه ۱:۵۰۰۰۰ طرود" و "بررسی و شناسایی زون‌های آلتراسیون با استفاده از تلفیق روش‌های سنجش از دور و GIS" جهت تعیین آنومالی‌ها و مناطق بالاهمیت اقتصادی استان سمنان" است که به دلیل تامین مالی این طرح‌ها، از دانشگاه آزاد اسلامی واحد شاهroud تقدیر و تشکر ابراز می‌شود.

## منابع

- آقانباتی، س. ع.، ۱۳۸۳. زمین‌شناسی ایران، سازمان زمین‌شناسی و اکتشافات معدنی کشور، ۶۰۴.
- برقا، ب.، عشق‌آبادی، م.، ۱۳۷۶. گزارش ارزیابی و اکتشافی کانسارها و اندیس‌های سرب و روی استان سمنان و تهران، وزارت معادن و فلزات، طرح اکتشاف سرب و روی سمنان، ۱۹۰.
- تاج‌الدین، ح.، ۱۳۷۷. زمین‌شناسی، کانی‌شناسی، ژئوشیمی و ژنز اثر معدنی طلا در استان (جنوب دامغان). پایان نامه کارشناسی ارشد، دانشگاه تربیت مدرس، ۲۳۶.
- خاکزاد، ا.، ۱۳۷۶. بررسی اجمالی زمین‌شناسی اقتصادی استان سمنان، ۲۱۲.
- رشید نژاد عمران، ن.، ۱۳۷۱. بررسی تحولات سنگ‌شناسی و ماسه‌گذاری و ارتباط آن با کانی‌سازی طلا.

- 1-16.
- Fard, M., Rastad, E. and Ghaderi, M., 2006. Epithermal gold and base metal mineralization at Gandy Deposit, North of Central Iran and the role of rhyolitic intrusions. *Journal of Sciences, Islamic Republic of Iran* v. 17(4): 327-335.
  - Mars, J.C., and Rowan, L.C., 2006. Regional mapping of phyllitic and argillitic altered rocks in the Zagros magmatic, Iran, using Advanced Spaceborne Thermal Emission and Reflection Radiometer (ASTER) data and logical operator algorithms. *Geosphere*, 2, 3, 161-186, doi:10.1130/GES00044.1.
  - Rowan, L. C., Goetz, A. F.h. and Ashley, R. P., 1977. Discrimination of hydrothermally altered rocks and unaltered rocks in visible and near infrared multispectral images: *Geophysics*, 42, 522-535.
  - Rowan, L.C. and Mars, J.C., 2003. Lithologic mapping in the Mountain Pass, California area using advanced spaceborne thermal emission and reflection radiometer (ASTER) data. *Remote Sensing Environment* 84, 350-366.
  - Rowan,L.C., Schmidt, R.G. and Mars, J.C., 2006. Distribution of hydrothermally altered rocks in the Reko Diq, Pakistan mineralized area based on spectral analysis of ASTER data, *Journal of Remote Sensing of Environment*, 104, 74-87.
  - Rouskov, K. Popov, K. Stoykov, S. and Yamaguchi, Y. 2005. Some application of the remote sensing in geology by using of ASTER image. In Scientific Conference .Space, Ecology, Sarefy. 375-447.
  - Tangestani, MH. and F. Moore 2002: Porphyry copper alteration mapping at the Meiduk area, Iran, *International Journal of Remote Sensing*, 23:22, 4815-4825. <http://dx.doi.org/10.1080/01431160110115564>.
  - Tangestani, MH, Mazhari N, Ager B. and Moore F ., 2008. Evaluating advance spaceborne thermal emission and reflection radiometer (ASTER) data for alteration zone enhancement in a semi-arid area, northern Shahr-e-Babak, SE Iran. *Internation of Journal of Remote Sensing* 29, 10, 2833-2850.